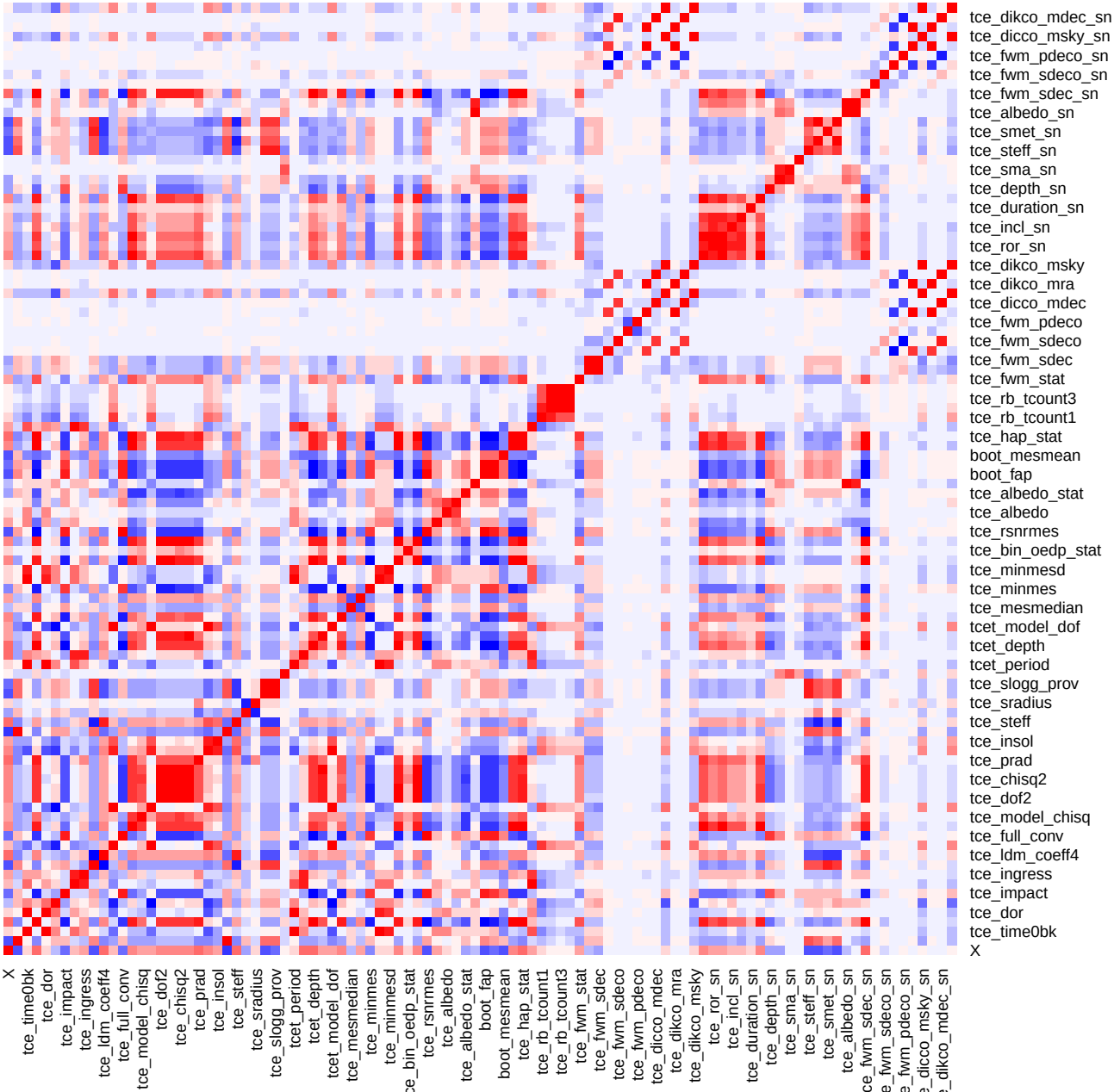
tce_dikco_mdec_sn
tce_dicco_msky_sn
tce_fwm_pdeco_sn
tce_fwm_sdeco_sn
tce_fwm_sdec_sn
tce_albedo_sn
tce_smet_sn
tce_steff_sn
tce_sma_sn
tce_depth_sn
tce_duration_sn
tce_incl_sn
tce_ror_sn
tce_dikco_msky
tce_dikco_mra
tce_dicco_mdec
tce_fwm_pdeco
tce_fwm_sdeco
tce_fwm_sdec
tce_fwm_stat
tce_rb_tcount3
tce_rb_tcount1
tce_hap_stat
boot_mesmean
boot_fap
tce_albedo_stat
tce_albedo
tce_rsnrmes
tce_bin_oedp_stat
tce_minmesd
tce_minmes
tce_mesmedian
tcet_model_dof
tcet_depth
tcet_period
tce_slogg_prov
tce_sradius
tce_steff
tce_insol
tce_prad
tce_chisq2
tce_dof2
tce_model_chisq
tce_full_conv
tce_ldm_coeff4
tce_ingress
tce_impact
tce_dor
tce_time0bk
X
X
tce_time0bk
tce_dor
tce_impact
tce_ingress
tce_ldm_coeff4
tce_full_conv
tce_model_chisq
tce_dof2
tce_chisq2
tce_prad
tce_insol
tce_steff
tce_sradius
tce_slogg_prov
tcet_period
tcet_depth
tcet_model_dof
tce_mesmedian
tce_minmes
tce_minmesd
tce_bin_oedp_stat
tce_rsnrmes
tce_albedo
tce_albedo_stat
boot_fap
boot_mesmean
tce_hap_stat
tce_rb_tcount1
tce_rb_tcount3
tce_fwm_stat
tce_fwm_sdec
tce_fwm_sdeco
tce_fwm_pdeco
tce_dicco_mdec
tce_dikco_mra
tce_dikco_msky
tce_ror_sn
tce_incl_sn
tce_duration_sn
tce_depth_sn
tce_sma_sn
tce_steff_sn
tce_smet_sn
tce_albedo_sn
tce_fwm_sdec_sn
tce_fwm_sdeco_sn
tce_fwm_pdeco_sn
tce_dicco_msky_sn
tce_dikco_mdec_sn